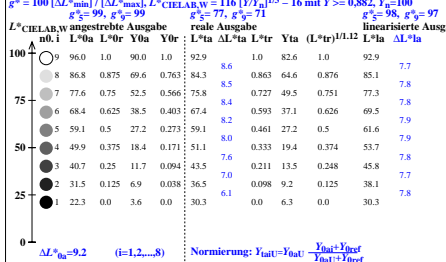


9stufige Grauskalierung zwischen  $L^*_{0aN}=22.3$  und  $L^*_{0aW}=95.9$ ,  $Y_{ref}=3.6$ , Normierung Grau U

$L^*_{0aN}=22.3$ ,  $L^*_{0aU}=59.1$ ,  $L^*_{0aW}=96.0$ ,  $Y_{0aN}=3.6$ ,  $Y_{0aU}=27.2$ ,  $Y_{0aW}=90.0$ ,  $C_{0aY}=Y_{0aW}:Y_{0aN}=25.0$   
 $L^*_{1aN}=30.3$ ,  $L^*_{1aU}=59.1$ ,  $L^*_{1aW}=92.9$ ,  $Y_{1aN}=6.3$ ,  $Y_{1aU}=27.2$ ,  $Y_{1aW}=82.6$ ,  $C_{1aY}=Y_{1aW}:Y_{1aN}=13.0$

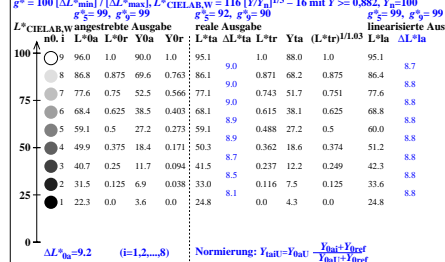
Reguläritätsindex nach ISO/IEC 15775:2022, Anhang G für 5 und 9 Stufen  
 $g^* = 100 [\Delta L^*_{min}] / [\Delta L^*_{max}]$ ,  $L^*_{CIELAB,W} = 116 [(Y^*_{ref}/Y^*)^{1/3} - 16 \text{ mit } Y >= 0.882, Y_n=100$   
 $g^*_5 = 99$ ,  $g^*_9 = 99$   $g^*_5 = 77$ ,  $g^*_9 = 71$   $g^*_5 = 98$ ,  $g^*_9 = 97$



9stufige Grauskalierung zwischen  $L^*_{0aN}=22.3$  und  $L^*_{0aW}=95.9$ ,  $Y_{ref}=0.9$ , Normierung Grau U

$L^*_{0aN}=22.3$ ,  $L^*_{0aU}=59.1$ ,  $L^*_{0aW}=96.0$ ,  $Y_{0aN}=3.6$ ,  $Y_{0aU}=27.2$ ,  $Y_{0aW}=90.0$ ,  $C_{0aY}=Y_{0aW}:Y_{0aN}=25.0$   
 $L^*_{1aN}=24.8$ ,  $L^*_{1aU}=59.1$ ,  $L^*_{1aW}=95.1$ ,  $Y_{1aN}=4.3$ ,  $Y_{1aU}=27.2$ ,  $Y_{1aW}=88.0$ ,  $C_{1aY}=Y_{1aW}:Y_{1aN}=20.2$

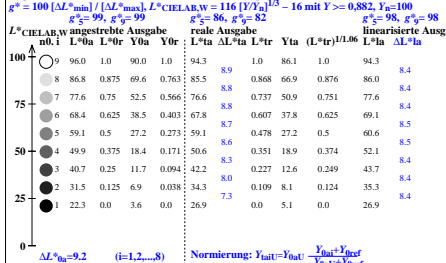
Reguläritätsindex nach ISO/IEC 15775:2022, Anhang G für 5 und 9 Stufen  
 $g^* = 100 [\Delta L^*_{min}] / [\Delta L^*_{max}]$ ,  $L^*_{CIELAB,W} = 116 [(Y^*_{ref}/Y^*)^{1/3} - 16 \text{ mit } Y >= 0.882, Y_n=100$   
 $g^*_5 = 99$ ,  $g^*_9 = 99$   $g^*_5 = 92$ ,  $g^*_9 = 90$   $g^*_5 = 99$ ,  $g^*_9 = 99$



9stufige Grauskalierung zwischen  $L^*_{0aN}=22.3$  und  $L^*_{0aW}=95.9$ ,  $Y_{ref}=1.8$ , Normierung Grau U

$L^*_{0aN}=22.3$ ,  $L^*_{0aU}=59.1$ ,  $L^*_{0aW}=96.0$ ,  $Y_{0aN}=3.6$ ,  $Y_{0aU}=27.2$ ,  $Y_{0aW}=90.0$ ,  $C_{0aY}=Y_{0aW}:Y_{0aN}=25.0$   
 $L^*_{1aN}=26.9$ ,  $L^*_{1aU}=59.1$ ,  $L^*_{1aW}=94.3$ ,  $Y_{1aN}=5.1$ ,  $Y_{1aU}=27.2$ ,  $Y_{1aW}=86.1$ ,  $C_{1aY}=Y_{1aW}:Y_{1aN}=17.0$

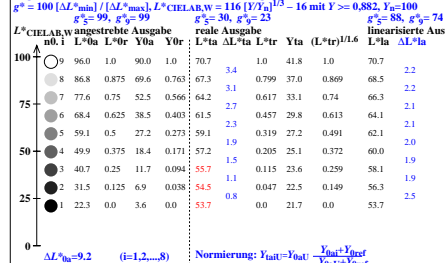
Reguläritätsindex nach ISO/IEC 15775:2022, Anhang G für 5 und 9 Stufen  
 $g^* = 100 [\Delta L^*_{min}] / [\Delta L^*_{max}]$ ,  $L^*_{CIELAB,W} = 116 [(Y^*_{ref}/Y^*)^{1/3} - 16 \text{ mit } Y >= 0.882, Y_n=100$   
 $g^*_5 = 99$ ,  $g^*_9 = 99$   $g^*_5 = 86$ ,  $g^*_9 = 82$   $g^*_5 = 98$ ,  $g^*_9 = 98$



9stufige Grauskalierung zwischen  $L^*_{0aN}=22.3$  und  $L^*_{0aW}=95.9$ ,  $Y_{ref}=90.0$ , Normierung Grau U

$L^*_{0aN}=22.3$ ,  $L^*_{0aU}=59.1$ ,  $L^*_{0aW}=96.0$ ,  $Y_{0aN}=3.6$ ,  $Y_{0aU}=27.2$ ,  $Y_{0aW}=90.0$ ,  $C_{0aY}=Y_{0aW}:Y_{0aN}=25.0$   
 $L^*_{1aN}=53.7$ ,  $L^*_{1aU}=59.1$ ,  $L^*_{1aW}=70.7$ ,  $Y_{1aN}=21.7$ ,  $Y_{1aU}=27.2$ ,  $Y_{1aW}=41.8$ ,  $C_{1aY}=Y_{1aW}:Y_{1aN}=1.9$

Reguläritätsindex nach ISO/IEC 15775:2022, Anhang G für 5 und 9 Stufen  
 $g^* = 100 [\Delta L^*_{min}] / [\Delta L^*_{max}]$ ,  $L^*_{CIELAB,W} = 116 [(Y^*_{ref}/Y^*)^{1/3} - 16 \text{ mit } Y >= 0.882, Y_n=100$   
 $g^*_5 = 99$ ,  $g^*_9 = 99$   $g^*_5 = 30$ ,  $g^*_9 = 23$   $g^*_5 = 88$ ,  $g^*_9 = 74$



Technische Informationen: <http://farbe.li.tu-berlin.de>

Siehe ähnliche Dateien der ganzen Serie: <http://farbe.li.tu-berlin.de/ieas.htm>

TUB-Registrierung: 20230701-iea2/iea210n1.txt /ps  
Anwendung für Beurteilung und Messung von Display- oder Druck-Ausgabe

TUB-Material: Code=ha4ta